

М-506

ОБЪЕДИНЕННЫЙ  
ИНСТИТУТ  
ЯДЕРНЫХ  
ИССЛЕДОВАНИЙ

ДУБНА



3724/2-74

16/12-24

P8 - 7855

Х.Менке, Ю.А.Шишов

МОДЕЛЬ СИЛЬНОТОЧНОГО И ВЫСОКОВОЛЬТНОГО  
СВЕРХПРОВОДЯЩЕГО ВЫКЛЮЧАТЕЛЯ

1974

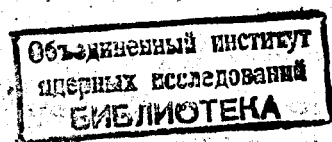
ЛАБОРАТОРИЯ ВЫСОКИХ ЭНЕРГИЙ

P8 - 7855

Х.Менке, Ю.А.Шишов

МОДЕЛЬ СИЛЬНОТОЧНОГО И ВЫСОКОВОЛЬТНОГО  
СВЕРХПРОВОДЯЩЕГО ВЫКЛЮЧАТЕЛЯ

Направлено на XVIII всесоюзное совещание  
по физике и технике низких температур,  
Киев, 1974 г.



## 1. ВВЕДЕНИЕ

Сверхпроводящие выключатели /СВ/ представляют собой безиндуктивную обмотку, снабженную устройством управления, которое переводит ее из сверхпроводящего в нормальное состояние. СВ используются для вывода энергии из индуктивных накопителей и аварийного удаления ее из сверхпроводящих магнитов /СМ/ /рис. 1/.

В связи с успешным развитием работ по индуктивным накопителям в ряде стран приступили к созданию многоамперных быстродействующих СВ. Во Франции /1/ исследуется работа различных выключателей, в том числе СВ с магнитным управлением, с помощью которого можно оканчивать разрядку накопителя в любой момент времени. Применена пленка из свинцово-висмутового сплава. В ФРГ /2/ начата разработка сверхпроводящих накопителей с выключателями теплового управления. Испытываются следующие материалы:  $Nb_3Sn$ ,  $V_3Ga$ ,  $NbN$ ,  $NbTi$  в виде ленты и тонких жил. В США /3/ построены выключатели с электрическим и магнитным управлением. Использован провод с ниобий-титановыми жилами, заключенными в медно-никелевую матрицу. Критический ток выключателя равен 0,8 кА, напряжение эвакуации - 1 кВ.

В криогенном отделе ЛВЭ ОИЯИ ведутся работы по созданию СВ, предназначенных для обеспечения аварийной эвакуации энергии из СМ постоянного и импульсного тока силой в 2 ÷ 3 кА при напряжении порядка 1 кВ. Для исследования работы СВ изготовлена модель, в которой применены жилы из ниобий-титанового сплава, заключенные в эпоксидный компаунд.

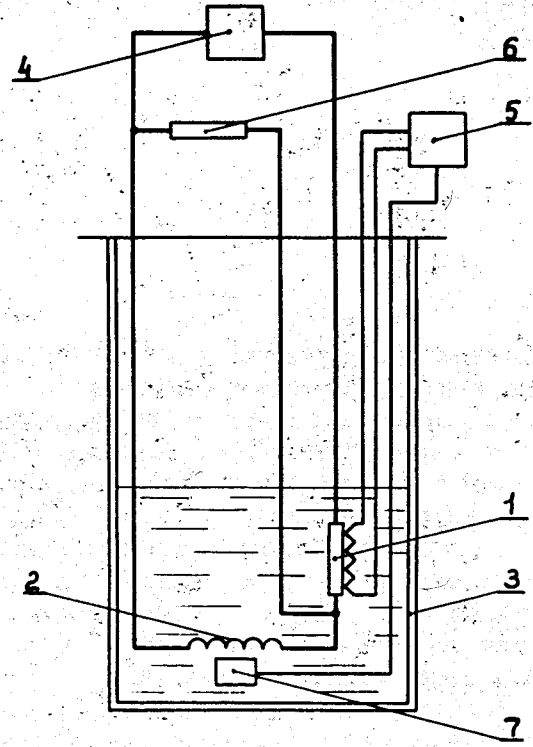


Рис. 1. Схема питания и защиты сверхпроводящих магнитов с помощью сверхпроводящего выключателя. 1 - выключатель; 2 - магнит; 3 - криостат с жидким гелием; 4 - устройство электропитания; 5 - блок управления выключателем; 6 - гасительное сопротивление; 7 - датчик перехода магнита в нормальное состояние.

В настоящей статье рассмотрены некоторые проблемы, возникающие при проектировании СВ, и способы их решения, примененные в модели. Дано описание конструкции модели, стенда для ее испытания и приведены экспериментальные результаты.

## 2. НЕКОТОРЫЕ ВОПРОСЫ КОНСТРУИРОВАНИЯ СВЕРХПРОВОДЯЩИХ ВЫКЛЮЧАТЕЛЕЙ

### 2.1. Способы управления выключателем

Известны три способа осуществления процесса перевода выключателя из сверхпроводящего в нормальное состояние.

1. Управление с помощью внешнего магнитного поля напряженностью  $H > H_c$  /магнитный способ/.

2. Управление с помощью импульса дополнительного тока плотностью  $j > j_c$  /электрический способ/.

3. Нагрев выключателя до температуры  $T > T_c$  /тепловой способ/.

Рассмотрим преимущества и недостатки этих способов.

Управление с помощью магнитного поля связано с наибольшими трудностями, особенно при необходимости обеспечить короткое время перевода выключателя в нормальное состояние. Здесь требуются материал с низким  $H_c$  и малоиндуктивная обмотка, создающая магнитное поле. Эта обмотка занимает значительную часть объема выключателя. Низкое значение  $H_c$  препятствует размещению такого СВ в рассеянном магнитном поле. Преимущество этого способа состоит в отсутствии первоначального нагрева выключателя. Однако возможен нагрев выключателя за время длительной эвакуации энергии.

Электрический способ может быть осуществлен путем разряда через выключатель батареи конденсаторов. Время переключения из сверхпроводящего в нормальное состояние при этом очень мало. Однако при недостаточно высоких напряжениях управляющего импульса выключатель переходит в нормальное состояние частично, что уменьшает эффективность вывода. Для полного перехода необходимо применять конденсаторы с напряжением в несколько киловольт. В работе <sup>/3/</sup> экспериментально установлено, что напряжение, полностью переводящее выключатель в нормальное состояние, приблизительно равно произведению критического тока выключателя на его сопротивление в нормальном состоянии, т.е.  $U = I_c \cdot R_B$ .

По-видимому, наиболее простым является тепловой способ. При низких температурах теплоемкость материалов СВ весьма мала, и требуется небольшая порция энергии, вводимой с помощью нагревателя, чтобы нагреть выключатель выше температуры перехода. Для питания нагревателя могут быть применены сравнительно /с  $I_c$ / малые токи и низкие напряжения. Наиболее трудным вопросом, особенно при высоких напряжениях эвакуации и малых временах переключения, является обеспечение электрической изоляции между сверхпроводником и нагревателем. Это объясняется тем, что для осуществления быстрого нагрева сверхпроводника расстояние между ним и нагревателем должно быть минимальным, что приводит к возможности пробоя изоляции во время эвакуации энергии.

Поскольку работы над СВ начаты недавно и ведутся ограниченным кругом исследователей, окончательное решение вопроса о применимости того или иного способа является делом будущего.

Сделаем оценку величины энергии  $W_c$ , необходимой для нагрева выключателя до критической температуры

$$T_c$$

$$W_c = \int_{T_b}^{T_c} mC \cdot dT, \quad /1/$$

где  $T_b$  - температура ванны /4,2 К/;  $m$  - эффективная масса выключателя;  $C$  - удельная теплоемкость выключателя.

В области от 4,2 до  $T_c \approx 10$  К удельные теплоемкости ниобий-титановых сплавов и эпоксидных смол близки между собой и пропорциональны квадрату температуры /4-6/

$$C \sim C_0 T^2$$

$$C_0 = 3 \cdot 10^{-5} \text{ Дж/г.град}$$

Следовательно, после интегрирования

$$W_c = \frac{T_c^3 - T_b^3}{3} C_0 (\gamma_{cb} \cdot V_{cb} + \gamma_e \cdot V_e). \quad /3/$$

Здесь:  $T_c$  - температура перехода при  $I=0$ ;  $C_0$  - постоянная теплоемкости;  $\gamma_{cb}$  - удельный вес сверхпроводника;  $\gamma_e$  - удельный вес эпоксида;  $V_{cb}$  - объем сверхпроводника в выключателе;  $V_e$  - объем эпоксида, воспринимающий часть тепла в начале импульсного нагрева.

Объем эпоксида зависит от геометрических факторов и от его электрической прочности, особенно для высоковольтных выключателей. По измерениям, проведенным в криогенном отделе инженером Н.Г.Анищенко, для смолы ЭД-6+20%ДЭГ-1 с холодным отвердителем МТГФА и наполнителем в виде кварцевого песка  $E=32 \text{ кВ/мм}$ . Очевидно, что такая прочность является вполне удовлетворительной при изготовлении выключателей на напряжение 1 кВ.

#### Коэффициент заполнения

$$K_z = \frac{V_{cb}}{V_{cb} + V_e}$$

$$W_c = \frac{T_c^3 - T_b^3}{3} \cdot C_0 \cdot \gamma_{cb} \cdot V_{cb} \cdot [1 + \frac{\gamma_e}{\gamma_{cb}} \left( \frac{1}{K_z} - 1 \right)]. \quad /5/$$

По данным /4-6/  $\gamma_e = 1,44 \text{ г/см}^3$ ,  $\gamma_{cb} = 5,6 \text{ г/см}^3$ . В модельном выключателе  $K_z \approx 0,03 \div 0,05$ .

$$\frac{W_c}{V_{cb}} = (2 \div 3) \cdot T_c^3 \cdot C_0 \cdot \gamma_{cb} \approx 0,3 \div 0,4 \text{ Дж/см}^3. \quad /6/$$

В принципе, для инициирования начала перехода выключателя в нормальное состояние достаточна меньшая, чем  $W_c$ , энергия  $W_p$ , которая нагревает выключатель до температуры перехода  $T_p(I)$ . Однако при появлении первых нормальных зон начинается деление тока между выключателем и гасительным сопротивлением, и могут создаться условия, когда новые нормальные зоны не появятся. Одновременно с уменьшением тока через выключатель снижается скорость распространения появившихся нормальных зон. В результате этих явлений выключатель переходит в нормальное состояние не пол-

нностью или с запоздлением, и эффективность эвакуации энергии падает.

## 2.2. Выбор материалов

Для получения высокой эффективности вывода энергии из СМ с помощью СВ большое значение имеет выбор сверхпроводящего материала. Коэффициент полезного действия выключателя

$$\eta = 1 - \frac{W_B}{W_L}, \quad /7/$$

$W_B$  - энергия, которая теряется в выключателе;  $W_L$  - энергия, запасенная в магните.

Для идеального выключателя, то есть выключателя, мгновенно переходящего в нормальное состояние, при отсутствии потерь энергии в обмотке магнита и криостате:

$$\frac{W_B}{W_L} = \frac{1}{1 + R_B / R_{\text{гас}}} \quad /8/$$

$R_B$  - сопротивление выключателя в нормальном состоянии;  $R_{\text{гас}}$  - величина гасительного сопротивления.

Объем нужного для выключателя сверхпроводящего материала можно вычислить с помощью формул /7/ и /8/.

$$V_{\text{СВ}} = \frac{U_M \cdot I_c}{I_c \cdot \rho \cdot j_c^2} \cdot \frac{\eta}{(1 - \eta)} \quad /9/$$

$U_M$  - максимальное напряжение эвакуации;  $I$  - nominalnyy tok;  $I_c$  - критический ток;  $\rho$  - удельное сопротивление сверхпроводящего материала при температуре, не намного превышающей критическую;  $j_c$  - критическая плотность тока в сверхпроводнике.

Важной характеристикой СВ является произведение  $\rho j_c$ . Из материала, имеющего максимальное значение этого произведения, можно изготовить выключатель с минимальным количеством сверхпроводящего материала. Естественно, что такой выключатель будет обладать сравнительно небольшими размерами, и легче будет

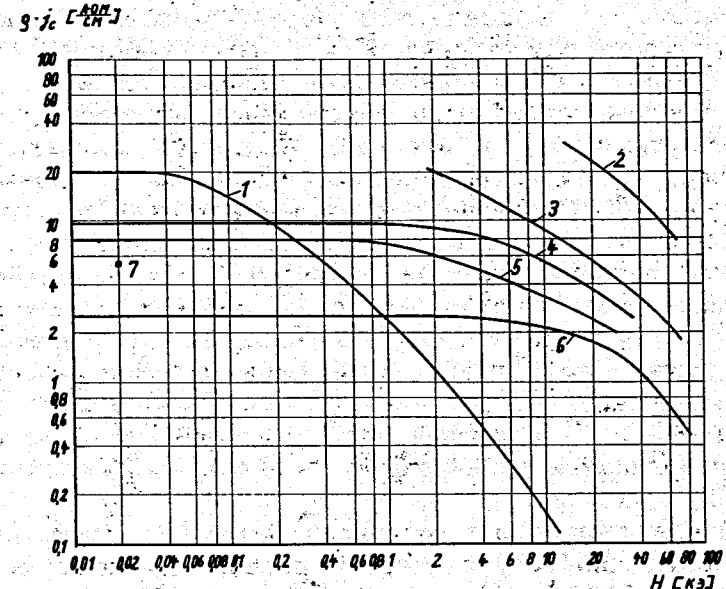


Рис. 2. Произведение  $\rho \cdot j_c$  коротких образцов сверхпроводника в зависимости от напряженности магнитного поля. 1. Pb - 65% Bi, фольга толщиной 1÷2 мкм /1/. 2. Nb-Ti в жидким гелии. Жилы диаметром 8 мкм /9/. 3. Nb-Ti в жидким гелии. Жилы 11 мкм /9/. 4. Nb-50%Ti в жидким гелии. Жилы 65 мкм. 5. Nb-50%Ti в пизине толщиной ~ 2 мм. Жилы 65 мкм. 6. Nb-Ti в жидким гелии. Жилы 76 мкм /10/. 7. Модельный выключатель. Nb-50%Ti жилы 65 мкм в эпоксидном компаунде /табл. 1/.

осуществлять перевод его в нормальное состояние. Из рис. 2 видно, что ниобий-титан в виде очень тонких жил /диаметром  $\leq 10$  мкм/ является наилучшим материалом, особенно при наличии рассеянных магнитных полей, как это имеет место при совместной работе СВ с СМ.

Для определения объема самого выключателя необходимо знать коэффициент заполнения его обмотки сверхпроводником и  $j_c$  обмотки. На эти вопросы может ответить практика конструирования и испытания модельных СВ.

Таблица 1: Параметры выключателя

Сверхпроводник	НТ-50, Ø 65 мкм
Длина косы	450 см
Число параллельных жил в косе	361*
Сопротивление выключателя выше $T_c$	2,5 Ом
Критический ток	920 А
Материал нагревателей	Константан, Ø 0,12 мм
Сопротивление нагревателя, предназначенного для ввода тока в магнит	65 Ом
Мощность нагревателя при вводе тока в магнит	0,6 Вт
Сопротивление импульсного нагревателя	100 Ом
Эпоксидная смола	ЭД-5 +10% ДЭГ-1
Отвердитель	ПЭПА
Наполнитель /40% по весу/	порошок нитрида бора
Средний диаметр выключателя	22 см
Толщина х высота	0,8 x 2 см <sup>2</sup>
Индуктивность магнита	0,3 · 10 <sup>-3</sup> Г
Критический ток магнита	4 · 10 <sup>3</sup> А
Гасительное сопротивление	0,1 Ом

Результаты измерений представлены на рис. 4. По-видимому, имеет некоторый смысл удаление меди на участках длиною менее 2 см. Однако при этом уменьшается сопротивление провода, и нельзя ожидать существенного увеличения  $\rho_{j,c}$ . Кроме того, травление коротких участков сильно осложняет изготовление выключателя.

\* Замечание: Жилы имеют обрывы; эффективное сечение около 60%.

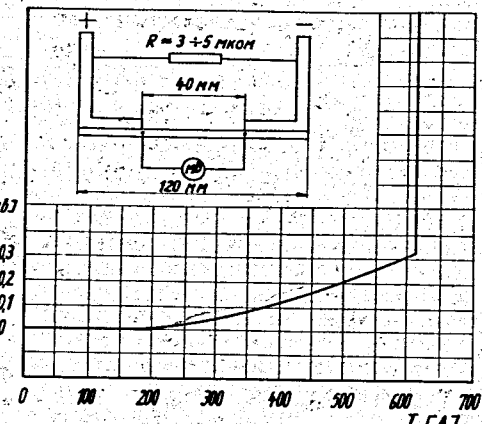


Рис. 3. Зависимость падения напряжения от силы тока на коротком образце провода диаметром 0,5 мм при переходе его в нормальное состояние. Жилы 65 мкм, напряженность магнитного поля  $H = 0$  кЭ.

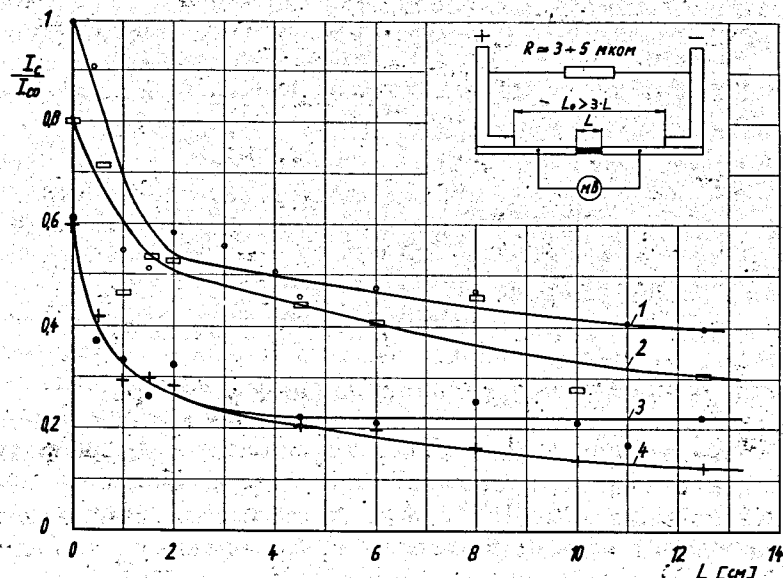


Рис. 4. Изменение критического тока коротких образцов провода диаметром 0,5 мм с 24 жилами 65 мкм в зависимости от длины участка  $L$ , на котором удалена медная матрица.  $I_{c,\infty}$  - ток полного перехода образца в нормальное состояние. 1 - жидкий гелий,  $H = 0$  кЭ. 2 - ниобий,  $H = 0$  кЭ. 3 - жидкий гелий,  $H = 10$  кЭ. 4 - ниобий,  $H = 10$  кЭ.

### 3. КОНСТРУКЦИЯ МОДЕЛИ

Выключатель изготовлен из провода диаметром 0,5 мм, содержащего 19 жил диаметром 65 мкм из сплава ниобий - 50% титана. Основные параметры выключателя и стенда для его испытаний даны в табл. 1. Провод изолирован двумя слоями лавсанового волокна. Перед намоткой провод опускается на длительное время в азотную кислоту, при этом медь вытравливается, а изоляция сохраняется /8/.

19 проводов длиной по 4,5 м каждый сплетаются в косу, в которой провода транспорнированы для выравнивания их индуктивностей и, соответственно, более равномерного распределения транспортного тока. На каждую из трех групп проводов, составляющих косу, навита проволока нагревателя длиной около 6 м. Материал проволоки - константан, диаметр равен 0,12 мм. Проволоки включены параллельно, причем их сопротивление составляет приблизительно 100 Ом. Поверх косы намотан второй нагреватель /65 Ом/, предназначенный для медленного нагрева при вводе тока в магнит. Параллельно включенные нагреватели имеют сопротивление 40 Ом. Коса, состоящая из сверхпроводящих жил и проводов нагревателя, бифилярно укладывается в форму и заливается эпоксидным компаундом. Для улучшения охлаждения выключателя вблизи косы располагают с шагом 10 мм пластинки из медной фольги толщиной 0,25 мм и шириной 5 мм.

Пластинки на 10 мм выступают из тела выключателя. Эпоксид проникает через волокна лавсана и занимает место вытравленной меди. Фотография шлифа опытного образца косы с проволокой нагревателя диаметром 0,25 мм показана на рис. 5. Измерение температуры выключателя ведется с помощью угольного датчика, имеющего сопротивление 100 Ом /1/10 Вт/. Датчик размещен вблизи косы и залит эпоксидом вместе с ней.

### 4. ИСПЫТАТЕЛЬНЫЙ СТЕНД

Схема стенда, предназначенного для проведения исследований СВ, показана на рис. 6. Выключатель 1, под-

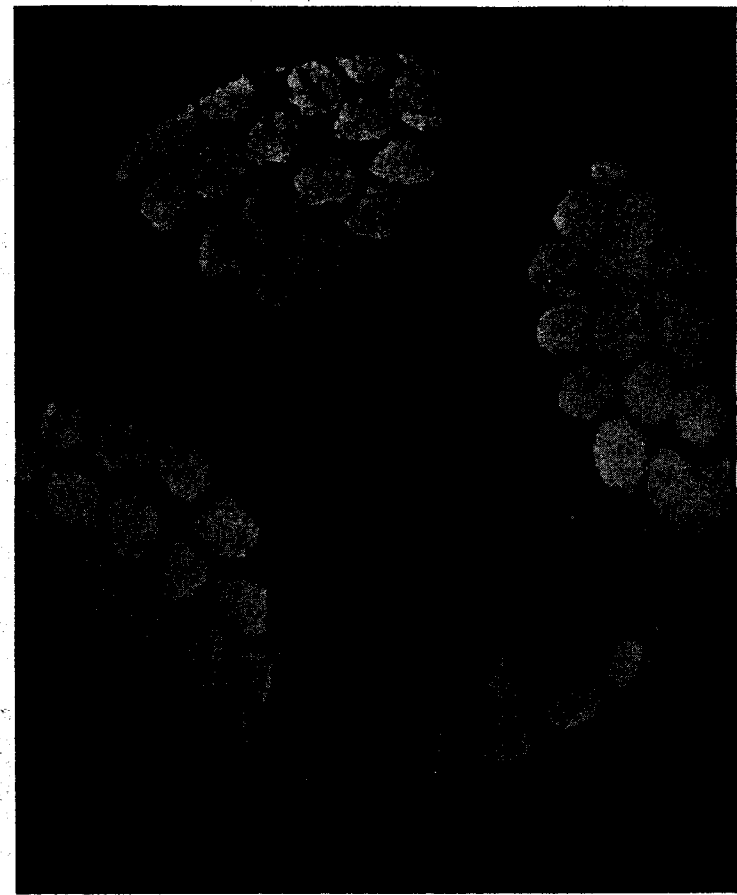


Рис. 5. Образец пропитки жил 65 мкм и лавсанового волокна эпоксидным компаундом. В середине проволока нагревателя.

соединеный к концам магнита 2, помещен в гелиевый криостат 3 внутренним диаметром 300 мм. Ток заводят в магнит с помощью источника питания 4 при включенном нагревателе 5. После отключения нагрева и охлаждения СВ магнит переводится в режим замороженного тока. Измерение напряженности магнитного поля осуществляется с помощью датчика Холла. Для уменьшения тепло-

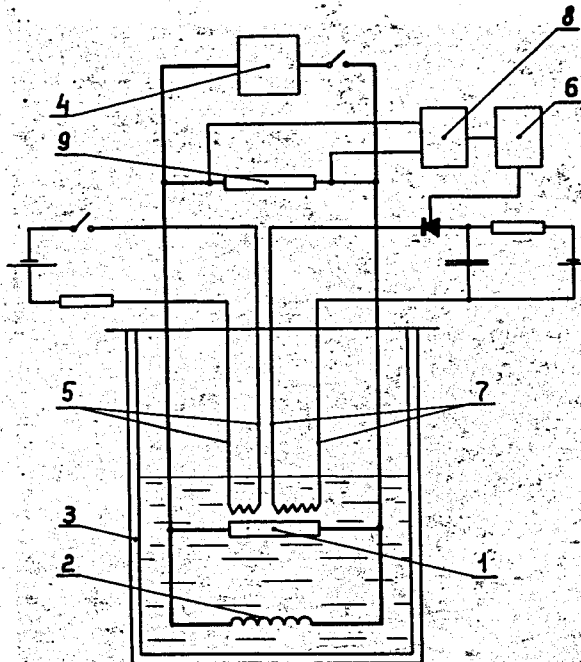


Рис. 6. Схема стенда для испытаний сверхпроводящих выключателей. 1 - выключатель, 2 - магнит, 3 - криостат с жидким гелием, 4 - устройство электропитания, 5 - цепь питания нагревателя, обеспечивающего ввод тока в магнит, 6 - пусковое устройство, 7 - цепь импульсного нагревателя, 8 - осциллограф, 9 - гасительное сопротивление.

притока в жидкий гелий при работе нагревателей, СВ помещен под колпак из текстолита. При нажатии кнопки на пусковом устройстве 6 происходит одновременное открытие тиристора в цепи импульсного нагревателя 7 и включение осциллографа 8, показывающего напряжение на концах гасительного сопротивления 9.

Номинальный ток выключателя равен 0,8 критического тока. Такое соотношение может обеспечить надежную работу выключателя в крупной СМС.

## 5. РЕЗУЛЬТАТЫ ИСПЫТАНИЙ МОДЕЛИ

Получены следующие основные параметры модельного выключателя: критический ток 920 A, сопротивление в нормальном состоянии при  $T > T_c$  - 2,5 Ом.

Эффект тренировки критического тока, как это обычно бывает в пропитанных эпоксидом обмотках магнитов, в модели не наблюдался. При многократных циклах нагрева - охлаждение сопротивление выключателя не менялось. Это свидетельствует о том, что в эпоксидном компаунде не возникают напряжения, которые могут привести к обрывам жил.

Время охлаждения выключателя до 4,2 K после прекращения работы нагревателя при вводе тока в соленоид составляет всего 10 сек.

Осциллограмма зависимости падения напряжения на концах гасительного сопротивления  $R_{\text{гас}}$  от времени показана на рис. 7. В момент времени  $t=0$  открывается тиристор и включается осциллограф. За время запаздывания  $t_3$  импульсный нагреватель доводит выключатель до температуры перехода. С этого момента начинается рост напряжения. Через  $t=t_3+t_m$  оно достигает максимума и затем падает с постоянной времени, определяемой индуктивностью магнита и величиной гасительного сопротивления.

Важным параметром выключателя является время запаздывания. В модели достигнута минимальная величина  $t_3 \approx 0,2$  мсек при  $I/I_c = 0,8$  /рис. 8/.

С помощью уравнения /6/ найдена энергия 4,5 Дж, необходимая для полного перевода выключателя в нормальное состояние. Такая энергия выделяется в импульсном нагревателе при напряжении конденсатора 150 V. Однако ясно, что для быстрого и полного переключения важна не только величина энергии импульса, но и его длительность.

Зависимость времени запаздывания  $t_3$  от напряжения конденсатора показана на рис. 9. Устройство электронной части цепи нагревателя не позволяло поднять напряжение выше 300 V. Видно, что  $t_3$  довольно велико и может

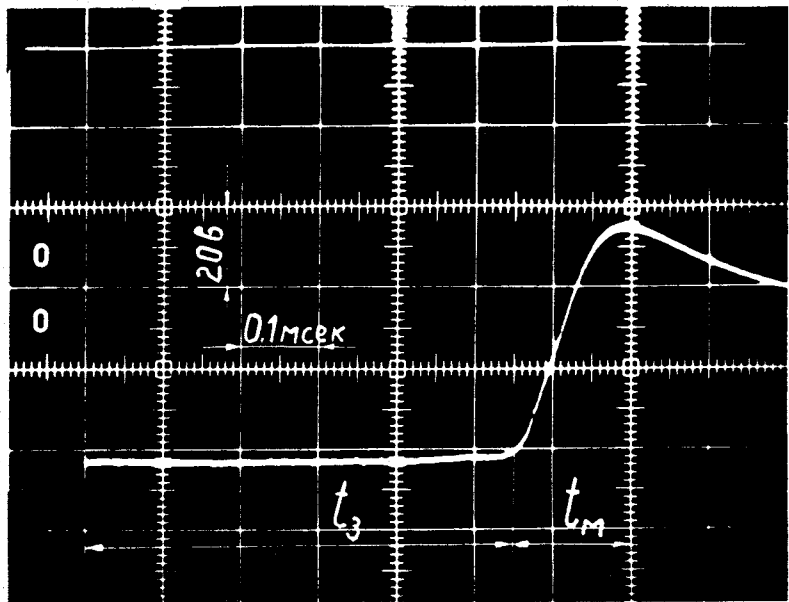


Рис. 7. Падение напряжения на гасительном сопротивлении в период эвакуации энергии из магнита.  $U_H = 130 \text{ В}$ ,  $I/I_c = 0,79$ ,  $t_3 = 0,55 \text{ мсек}$ ,  $t_M = 0,14 \text{ мсек}$ .

быть уменьшено путем повышения напряжения конденсатора.

Время возрастания тока в гасительном сопротивлении от нуля до максимума  $t_M$  составляет  $0,14 \text{ мсек}$  при  $I/I_c = 0,87$  и сопротивлении нагревателя  $100 \text{ Ом}$ . В идеальном случае выключатель должен переходить в нормальное состояние мгновенно, то есть  $t_M = 0$ . По-видимому, в модели не была получена достаточная мощность нагрева. Об этом говорит следующее обстоятельство. Мощность нагревателя /при постоянном напряжении конденсатора/ обратно пропорциональна его сопротивлению. Уменьшение  $R_H$  до  $40 \text{ Ом}$  привело к  $t_M = 0,14 \text{ мсек}$  уже при  $I/I_c = 0,8$ . Максимум тока через гасительное сопротивление в этом случае выше, чем при  $R_H = 100 \text{ Ом}$  /рис. 10/. Коэффициент полезного действия для  $I/I_c = 0,8$ , полученный с помощью осциллографа,  $\eta \approx 0,85 \div 0,9$ .

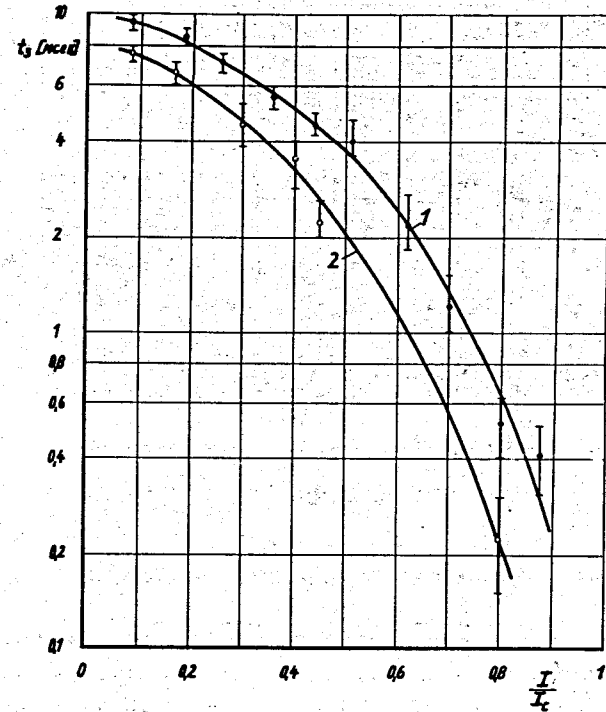


Рис. 8. Зависимость времени запаздывания  $t_3$  от силы транспортного тока.  $R_H = 40 \text{ Ом}$ ,  $C_H = 400 \text{ мкФ}$ , 1 -  $U_H = -150 \text{ В}$ ; 2 -  $U_H = 300 \text{ В}$ .

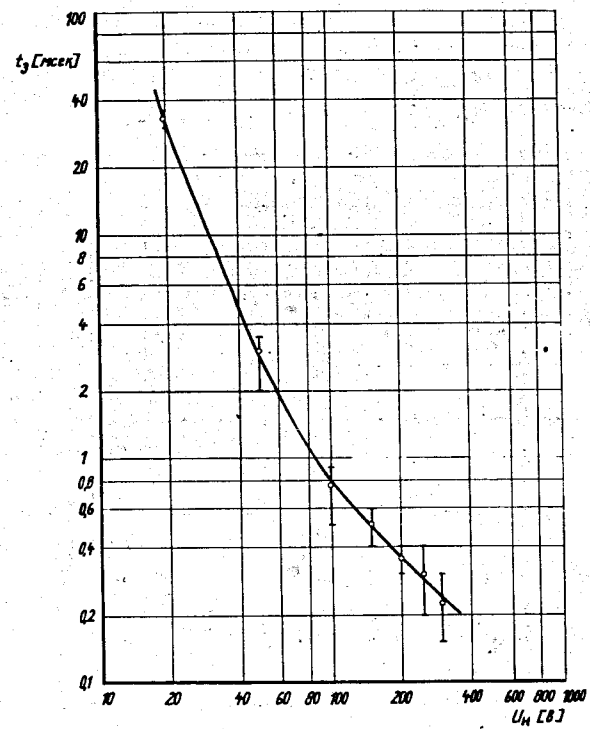


Рис. 9. Зависимость времени запаздывания  $t_3$  от напряжения нагревателя.  $I/I_c = 0,8$ ;  $R_H = 40 \text{ Ом}$ ;  $C_H = 400 \mu\text{Ф}$ .

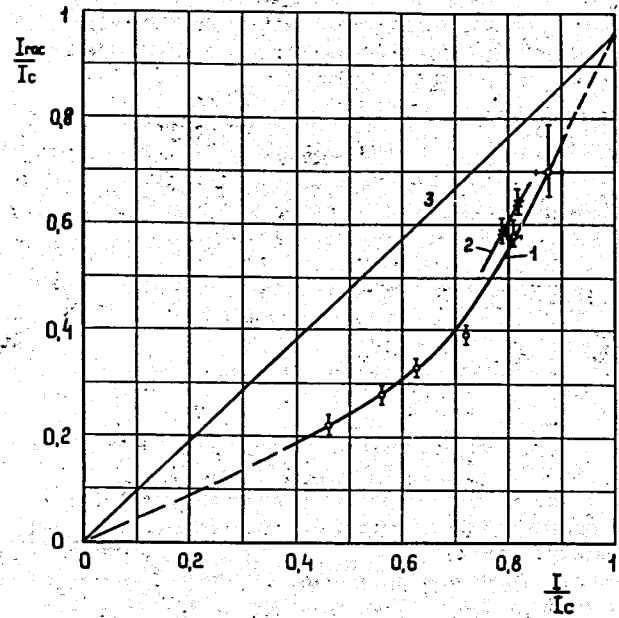


Рис. 10. Зависимость величины максимального тока через гасительное сопротивление от транспортного тока. 1 -  $R = 100 \text{ Ом}$ ; 2 -  $R_H = 40 \text{ Ом}$ ; 3 - идеальный выключатель /мгновенный и полный переход в нормальное состояние/,  $R_{выкл}/R_{газ.} = 25$ .

## 6. ВЫВОДЫ

1. Разработан и опробован на модели способ изготовления сверхпроводящих выключателей с тепловым управлением. Использован провод с ниобий-титановыми жилами диаметром 65 мкм. Матрица провода вытравливается, жилы сплетаются вместе с нагревательными проводами в косу, которая заливается эпоксидным компаундом. Найден состав компаунда, удовлетворяющий сложным условиям работы в выключателе.

2. Получены следующие основные параметры выключателя: критический ток 920 A; сопротивление в нормальном состоянии 2,5 Ом; минимальное время запаздывания 0,2 мсек.

3. Расчеты и результаты экспериментов с моделью показывают, что с помощью разработанной технологии возможно создание выключателя, позволяющего вести эвакуацию энергии из магнитов при токе в несколько килоампер и напряжении в несколько киловольт. При этом может быть достигнуто время переключения, меньшее 0,5 мсек.

### Литература

1. Krebs. "Superconducting devices for energy storage and switching". Proc. of the ICEC IV, Eindhoven, pp. 172-176, 1972.
2. Amendt et al. "Untersuchungen fur einen induktiven Power-Crowbar-Energiespeicher" Jahresbericht des Max-Planck-Institutes fur Plasma-physik, München, 1972.
3. Laquer et al. "Superconducting magnetic energy storage and transfer" Proc. of the Appl. Super .Conf., Anapolis, pp.98-101, 1972.
4. Brechna. "Materials and conductor configurations in superconducting magnets". Proc. of the 1968 summer study on super . devices and accelerators, Brookhaven, pp.468-488, 1968.
5. Б.Я.Сухаревский и др. Особенность температурной зависимости теплоемкости ниобий-титанового сплава при переходе в сверхпроводящее состояние. ЖЭТФ, 54, 6, с.1675-1679 /1968/.
6. Brewer et al. "A simple He-3 cryostat and He specific heat of nylon and epxoxy resin below 4,2 K" Cryogenics, 6, No 1,pp. 49-51 (1968).
7. А.Г.Зельдович, Ю.А.Шишов. Сообщение ОИЯИ, 8-7018, Дубна, 1973.
8. Ю.А.Шишов, Х.Менке. Сообщение ОИЯИ, 8-7019, Дубна, 1973.
9. Wipf, Soell. "Flux-flow properties of bare Nb-Ti wire". Proc. of the ICEC IV, pp.159-164, Eindhoven 1972.
10. Gauster "Steady-state performance of multistrand superconducting composite conductors". Journ. of Appl. Physics. Vol. 40, No 5, pp 2060 - 2065 (1969).

Рукопись поступила в издательский отдел  
17 мая 1974 года.